

文章编号:1671-6833(2015)04-0054-03

# RE 和 Ti 对 Al-Mg-Si 导体材料组织和性能的影响

赵红亮, 孔亚萍, 刘志鹏

(郑州大学 材料科学与工程学院, 河南 郑州 450001)

**摘要:** 在 Al-Mg-Si 合金中添加稀土和钛, 采用 OM, SEM 和 EDS 对合金显微组织进行分析, 并通过性能测试, 研究稀土和钛对 Al-Mg-Si 导体材料组织和性能的影响. 研究表明: RE 和 Ti 对 Al-Mg-Si 导体材料均有细化作用. 当合金中 RE 和 Ti 质量分数分别超过 0.3% 和 0.15% 时, 稀土元素 Ce 和 Ti 发生反应, 生成  $Al_{20}Ti_2Ce$  相, 消耗熔体中大量的 Ti 和 Ce, 对合金的力学性能和导电性能有不利影响.

**关键词:** Al-Mg-Si; 合金元素; 力学性能; 导电性能

**中图分类号:** TG292 **文献标志码:** A **doi:**10.3969/j.issn.1671-6833.2015.04.013

## 0 引言

Al-Mg-Si 合金由于其良好的导电性、热塑性、耐腐蚀性及良好的加工性能, 且易氧化着色, 被广泛应用于导电导热材料<sup>[1-2]</sup>. 但 Al-Mg-Si 导体材料, 存在晶粒粗大、杂质含量高的问题, 其机械性能和导电性能仍有待提高. 研究表明, 适量的 Ti 加入到铝合金中, 形成金属间化合物  $TiAl_3$  和  $TiB_2$ , 增加有效核心的数量, 细化晶粒, 提高合金强度和塑性<sup>[3]</sup>. 在 Al-Mg-Si 合金中添加适量的稀土元素能够净化熔体<sup>[4]</sup>, 细化晶粒, 从而改善合金机械、物理及工艺性能<sup>[5]</sup>. 并且, 稀土可以与合金中的铁、过剩硅等反应生成化合物, 使杂质元素由固溶态变为析出态, 提高合金导电性<sup>[6]</sup>. 笔者在 Al-Mg-Si 导体材料中添加稀土和钛, 研究其对 Al-Mg-Si 合金组织和性能的影响.

## 1 实验材料与方法

基体合金为导体中最常用的 Al-0.8Mg-0.6Si ( $w(Fe) < 0.3\%$ ,  $w(B) < 0.06\%$ ). 将 Al-0.8Mg-0.6Si 放入坩埚电阻炉中, 720 °C 保温至 Al-0.8Mg-0.6Si 完全熔化, 升温至 750 °C, 加入预热好的 Al-10RE 中间合金 (RE 为混合稀土, 其中 80% 的 Ce, 20% 其它.) 或/和 Al-Ti 中间合金, 保温 50 min, 期间每隔 15 min 搅拌一次. 用高纯氩气进行除气处理. 降温至 720 °C, 将合金液浇入

$\Phi 60$  mm  $\times$  110 mm 的柱状模具中 (铸铁型, 预热温度为 200 °C). 试样经人工研磨、抛光后用 5% HF 腐蚀 10 s, 在 OLYMPUS 金相显微镜和扫描电子显微镜上观察合金组织. 对铸锭 570 °C 均匀化处理 8 h 后, 460 °C 挤压至  $\Phi 10$  mm, 然后对合金棒进行 500 °C 固溶处理 30 min, 水淬冷却, 之后进行 180 °C 时效处理 8 h. 采用 SHIMADZU 电子万能拉伸机测试合金杆抗拉强度和伸长率, 用 FD101 涡流电导仪测试合金导电性能. 实验合金中 RE 和 Ti 添加量见表 1.

表 1 实验合金中 RE 和 Ti 的质量分数

Tab. 1 The content of RE and Ti in the experiment alloy %

| 标号 | $w(Re)$ | $w(Ti)$ | 标号 | $w(Re)$ | $w(Ti)$ |
|----|---------|---------|----|---------|---------|
| 1  | 0.3     | 0.00    | 7  | 0.0     | 0.15    |
| 2  | 0.3     | 0.05    | 8  | 0.1     | 0.15    |
| 3  | 0.3     | 0.1     | 9  | 0.2     | 0.15    |
| 4  | 0.3     | 0.15    | 10 | 0.4     | 0.15    |
| 5  | 0.3     | 0.20    | 11 | 0.5     | 0.15    |
| 6  | 0.3     | 0.25    |    |         |         |

## 2 结果与分析

### 2.1 RE 和 Ti 对 Al-Mg-Si 合金组织的影响

图 1 为 RE 质量分数为 0.3% 时, 不同 Ti 质量分数 ( $x$ ) 对合金显微组织的影响. 由图 1 可知, Ti 可以使 Al-Mg-Si 晶粒细化, 随着合金中 Ti 质量

收稿日期: 2015-01-27; 修订日期: 2015-03-19

基金项目: 国家自然科学基金资助项目 (51174177)

作者简介: 赵红亮 (1972-), 男, 河南项城人, 郑州大学教授, 博士, 主要从事新型铝、镁合金的研究, E-mail: zhlwkr@zhu.edu.cn.

分数的增加,晶粒细化程度先增加后降低.当合金中Ti质量分数为0.15%时,晶粒尺寸最小,由原始尺寸180  $\mu\text{m}$ 变为100  $\mu\text{m}$ .继续增加合金中Ti的质量分数,晶粒尺寸反而有所增大,并且出现了

粗大的块状第二相.与含质量分数为0.2% Ti的合金相比,含质量分数为0.25% Ti的合金中块状第二相数量较多,且形状更加不规则.

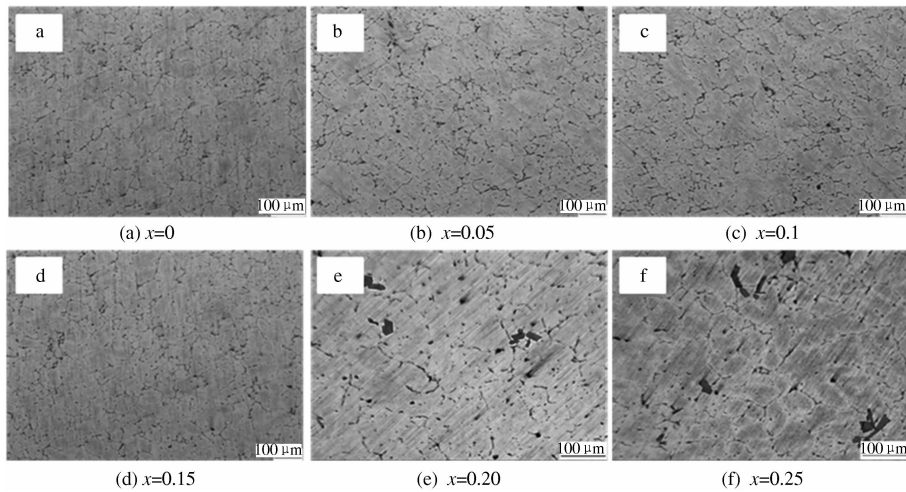


图1 Al-0.8Mg-0.6Si-0.3RE-xTi合金显微组织

Fig. 1 Microstructures of Al-0.8Mg-0.6Si-0.3RE-xTi

图2为合金中Ti质量分数为0.15%时,不同质量分数的RE对合金显微组织的影响.可以看出,RE质量分数对晶粒尺寸有细化作用,细化效果随着稀土质量分数的增加先增加后降低.当稀

土质量分数为0.3%时,晶粒最小,由原始尺寸160  $\mu\text{m}$ 变为100  $\mu\text{m}$ ;继续增加稀土质量分数,晶粒尺寸反而变大,并且出现了块状第二相.

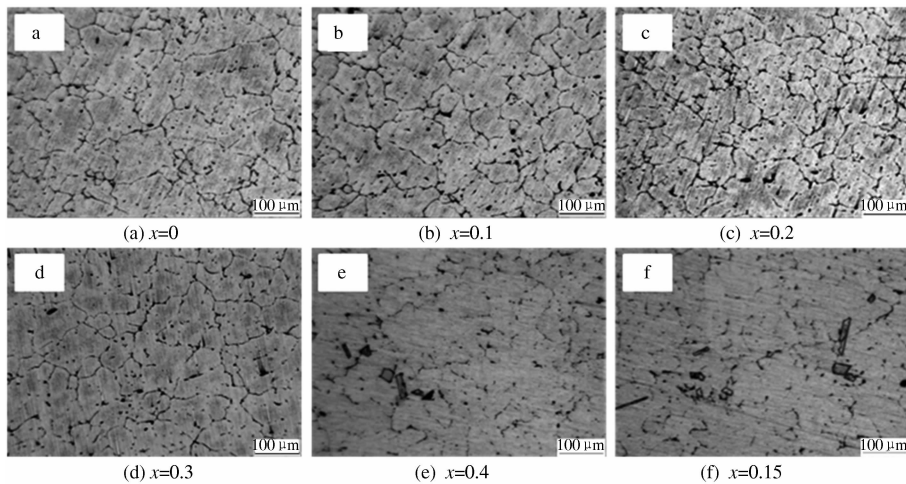


图2 Al-0.8Mg-0.6Si-0.15Ti-xRE合金显微组织

Fig. 2 Microstructures of Al-0.8Mg-0.6Si-0.15Ti-xRE

图3为不规则块状相的扫描照片.可以发现,图3(a)中的块状相表面为灰色,图3(b)中的块状相表面除了灰色区域还有白色区域,且块状相表面不平整,存在沟槽,白色区域形状不规则.分别对图3(a)中灰色块状相(点A)和图3(b)中块状相的灰色区域(点B)与白色区域(点C)做能谱分析,如表2所示.可看出A,B,C3点成分相近,不规则块状相由Al,Ti,Ce3种元素组成,Al,

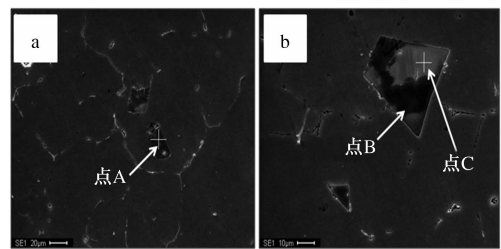
Ti,Ce的摩尔比接近20:2:1,由于合金中Ti元素和Ce元素太少,XRD分析中未能检测出铝钛铈相.但结合文献[7],可推断出该相是 $\text{Al}_{20}\text{Ti}_2\text{Ce}$ 相.

在Al-Mg-Si合金熔体中,Ce和Ti反应生成 $\text{Al}_{20}\text{Ti}_2\text{Ce}$ 相,该相呈块状,尺寸较大,形状不规则,割裂基体,阻碍电子传输,从而影响合金性能.而在熔体中RE与Ti发生反应是受质量分数限制

的.当熔体中RE与Ti的质量分数分别低于0.3%和0.15%时,反应不能进行或者很难进行.当RE与Ti的质量分数达到一定值后,反应得以进行,形成三元相 $Al_{20}Ti_2Ce$ .这种化合物的形成消耗了大量的Ti和Ce,使熔体中Ti和Ce的有效质量分数降低,Ti和Ce的细化效果减弱,合金性能也受到不利影响.

## 2.2 Ce和Ti对Al-Mg-Si合金性能的影响

不同RE和Ti质量分数的合金力学性能和导电性能如表3所示.由表3可知,当稀土质量分数



(a) 单一灰色块状相 (b) 灰白两色块状相

图3 不规则块状相的扫描照片

Fig. 3 SEM micrographs of irregular block phase  
a-The gray block phase; b-gray and white block phase

表2 A,B,C点各元素的摩尔比

Tab. 2 The molar ratio of elements in point A, B, C

| 区域 | Mg   | Al    | Si   | Ti   | La   | Ce   | Fe   |
|----|------|-------|------|------|------|------|------|
| A  | 0.97 | 84.89 | 0.12 | 8.10 | 0.87 | 4.83 | 0.22 |
| B  | 1.40 | 83.57 | 0.21 | 8.91 | 0.85 | 4.93 | 0.13 |
| C  | 1.01 | 85.01 | 0.33 | 8.34 | 0.31 | 4.63 | 0.37 |

为0.3%时,随着Ti质量分数的增加,合金的强度、伸长率和电导率先增加后降低.合金强度和伸长率在钛含量为0.15%时达到峰值,分别为265 MPa和10.3%,相对Ti质量分数为0时,分别提高了3.5%和22.6%.电导率在Ti质量分数为0.10%时达到峰值,为56.4% IACS.当Ti质量分数为0.15%时,随着RE含量的增加,合金的强度、伸长率和电导率先增加后降低.当RE质量分数为0.3%时,合金强度、伸长率和电导率达到峰值,分别为265 MPa、10.3%和56%,相对稀土质量分数为0时,分别提高4.7%、5.1%和12%.当稀土和Ti质量分数分别大于0.3%和0.15%时,合金性能降低,是因为合金中出现了块状 $Al_{20}Ti_2Ce$ 相和粗大针状相. $Al_{20}Ti_2Ce$ 相体积较大,

表3 实验合金的力学性能和导电性能

Tab. 3 The mechanical properties and electric conductivity of the experiment alloy

| 标号 | 质量分数<br>$w(RE)/\%$ | 质量分数<br>$w(Ti)/\%$ | 抗拉强度/<br>MPa | 伸长率/<br>% | 电导率/<br>% IACS |
|----|--------------------|--------------------|--------------|-----------|----------------|
| 1  | 0.3                | 0.00               | 256          | 8.4       | 56.0           |
| 2  | 0.3                | 0.05               | 262          | 8.5       | 56.1           |
| 3  | 0.3                | 0.10               | 264          | 10.2      | 56.4           |
| 4  | 0.3                | 0.15               | 265          | 10.3      | 56.0           |
| 4  | 0.3                | 0.20               | 250          | 9.6       | 53.0           |
| 6  | 0.3                | 0.25               | 249          | 9.4       | 52.0           |
| 7  | 0.0                | 0.15               | 253          | 9.8       | 50.0           |
| 8  | 0.1                | 0.15               | 260          | 10.1      | 54.0           |
| 9  | 0.2                | 0.15               | 263          | 10.1      | 55.0           |
| 10 | 0.4                | 0.15               | 252          | 9.8       | 51.0           |
| 11 | 0.5                | 0.15               | 251          | 9.7       | 50.0           |

形状不规则,割裂基体,阻碍电子传输,严重降低合金的力学性能和导电性能.粗大针状相分布在晶界,割裂基体,影响电子传输,对合金力学性能和导电性能都有不利影响.

## 3 结论

(1)在Al-Mg-Si-0.3RE合金中加入Ti和Al-Mg-Si-0.15Ti合金中加入RE,晶粒都得到不同程度的细化.当Ti质量分数为0.15%,稀土质量分数为0.3%时,晶粒尺寸最小,为100  $\mu\text{m}$ .

(2)当Ti和RE质量分数分别超过0.15%和0.3%时,生成 $Al_{20}Ti_2Ce$ 块状相.该相的形成一方面消耗了Ti和RE,使熔体中Ti和RE的有效含量降低,削弱了Ti和RE的有利作用.此外,该相形状不规则,割裂基体,阻碍电子传输,对合金导电性能不利.

(3)在稀土和钛质量分数分别为0.3%和0.15%时,合金力学性能和导电性能最佳.其抗拉强度、伸长率和电导率分别为265 MPa、10.3%、56% IACS.

## 参考文献:

- [1] 梁振宇.合金元素对Al-Mg-Si合金导体材料组织和性能的影响研究[D].长沙:湖南大学材料科学与工程学院,2011.
- [2] 张珊珊.Al-Mg-Si合金铸态组织及其铸锭均匀化处理的研究[D].沈阳:东北大学材料科学与工程学院,2011.

(下转第66页)